

มหาวิทยาลัยบูรพา  
Burapha University

ภาคพนวก

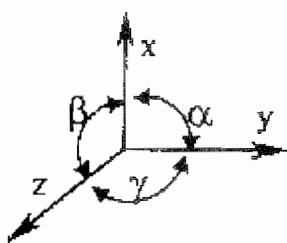
ภาควิชาเคมี

การคำนวณหาค่าคงที่เลตทิซ (Lattice Constants) และขนาดผลึก (Crystallite Size)

## การคำนวณหาค่าคงที่ແລตทิช (Lattice Constants)

### โครงสร้างผลึก (Crystal Structure)

ในการศึกษาโครงสร้างผลึกที่เข้าใจง่ายขึ้นเราจะกำหนดแกนสมมุติและมุมขึ้นภายในรูปผลึกซึ่งมีอัตราส่วนอยู่ตามเหลี่ยมนูนต่าง ๆ ในทิศทาง 3 มิติ (ภาพที่ ก-1 ประกอบ) โดยให้



a, b, c เป็นระยะห่างระหว่างอะตอม เรียกว่า สเปซແලตทิช (Space lattice)  
มีหน่วยเป็นแองสโตม ( $\text{\AA}$ ) โดยที่ 1 Angstrom =  $10^{-10} \text{ m}$ .  
x, y, z เป็นแกนสมมุติอ้างอิง โดยมีจุดกำเนิด O (Origin) อยู่ตรงตำแหน่ง  
อะตอมหนึ่ง ๆ ของหน่วยเซลล์หนึ่ง เรียกว่า ແລຕິຫວັກເຕອຣ (Lattice vector)  
 $\alpha, \beta, \gamma$  เป็นมุมที่เกิดขึ้นภายในผลึกอยู่ระหว่างแกน x, y, z

ภาพที่ ก-1 แกนสมมุติและมุมขึ้นภายในรูปผลึก

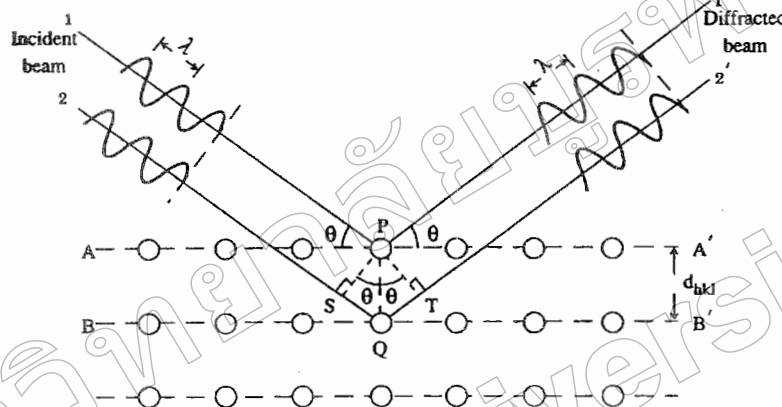
**สเปซແಲตทิช (Space Lattice)** มีอยู่ทั้งหมด 230 แบบด้วยกัน แต่จะสรุปลงเหลือเพียง 14 แบบ  
ใหญ่ๆ ด้วยกันและมีรูปแบบที่สอดคล้องกับโครงสร้างระบบผลึก (Crystal structure) ได้ 7 ระบบ  
ด้วยกันคือ

1. ไตรคลินิก (Triclinic) แกนทั้ง 3 แกนยาวไม่เท่ากัน แกนทั้ง 3 แกนทำมุมไม่เท่ากัน และไม่ตั้งฉากกัน
2. โมโนคลินิก (Monoclinic) แกนทั้ง 3 แกนยาวไม่เท่ากัน มีแกน 2 แกนที่จะทำมุมตั้งฉากกัน แต่แกนที่ 3 ไม่ตั้งฉาก
3. ออร์тоรอห์มิก (Orthorhombic) หรือโอห์มบิก (Rhombic) แกนทั้ง 3 แกนยาวไม่เท่ากัน แต่ทุกแกนจะทำมุมตั้งฉากกันและกัน
4. เตตራゴนอล (Tetragonal) มีแกน 2 แกนยาวเท่ากันแต่อีกแกนหนึ่งจะสั้น หรือบางกว่า แกนทั้ง 3 แกน ทำมุมตั้งฉากกันและกัน
5. โอห์บอธิครอต (Rhombohedral) แกนทั้ง 3 แกนยาวเท่ากัน แกนทั้ง 3 แกนทำมุมเท่ากัน แต่ทั้ง 3 มุมไม่เป็น 90 องศา
6. เอกซ์-โภโนอล (Hexagonal) มีแกน 3 แกนอยู่ในแนวระนาบ (Plane) ทำมุมภายในเท่ากับ 120 องศา ต่อ กัน แกนที่ 4 ทำมุม 90 องศา กับแนวระนาบ (Plane) แกน 3 แกนแรกจะเท่ากัน แต่จะไม่เท่ากับแกนที่ 4
7. สเตเดียมจัตุรัส (Cubic) แกนทั้ง 3 แกนยาวเท่ากันและตั้งฉากซึ่งกันและกัน

| ระบบผลึก                                   | แลดทิช   |  |  |  |  |
|--|--|--|--|--|--|
| ไตรคลินิก<br>(triclinic)                   | $\alpha, \beta, \gamma \neq 90^\circ$<br>                          |  |  |  |  |
| ไมโนคลินิก<br>(monoclinic)                 | simple<br>$\beta = 90^\circ$<br>$\alpha, \gamma \neq 90^\circ$<br> | centered<br>$\beta = 90^\circ$<br>$\alpha, \gamma \neq 90^\circ$<br> |  |  |  |
| ออร์โธรมบิก<br>(orthorhombic)              | simple<br>$a \neq b \neq c$<br>                                    | base-centered<br>$a \neq b \neq c$<br>                               | body-centered<br>$a \neq b \neq c$<br> | face-centered<br>$a \neq b \neq c$<br> |  |
| ເຂົກຫາໂກນອດ<br>(hexagonal)                 | $a \neq c$<br>   |  |  |  |  |
| ຮອມໂປ່ອຄັດ<br>(rhombohedral)<br>(trigonal) | $\alpha, \beta, \gamma \neq 90^\circ$<br>                          |  |  |  |  |
| ເຕຕະໂກນອດ<br>(tetragonal)                  | simple<br>$a \neq c$<br>   | body-centered<br>$a \neq c$<br>                                      |  |  |  |
| គົວບົກ<br>(isometric)                      | simple<br>   | body-centered<br>  | face-centered<br>                      |  |  |

โดยปกติแล้ว “ไทยเนียมอลูมิเนียม” ในไตรด์บริสุทธิ์ มีโครงสร้างผลึกแบบคิวบิก ในงานวิจัยนี้พบว่าฟิล์มบาง “ไทยเนียมอลูมิเนียม” ในไตรด์ที่เคลือบด้วยระบบ รีแอคเติฟเมกนีตรอน โคสปัคเตอริง มีโครงสร้างผลึกแบบเฟช เช็นเตอร์ คิวบิก

### กฎของแบรกค์ (Bragg's law)



ภาพที่ ก-2 แบบจำลองการเรียงตัวของอะตอม

$$2d_{hkl} \sin \theta = n\lambda \quad (ก-1)$$

เมื่อ  $d_{hkl}$  เป็นระยะห่างระหว่างระนาบผลึก ( $h k l$ )

$\theta$  เป็นมุมครกทราบและมุมสะท้อน เมื่อวัดจากแนวระนาบ (ในหน่วย radians)

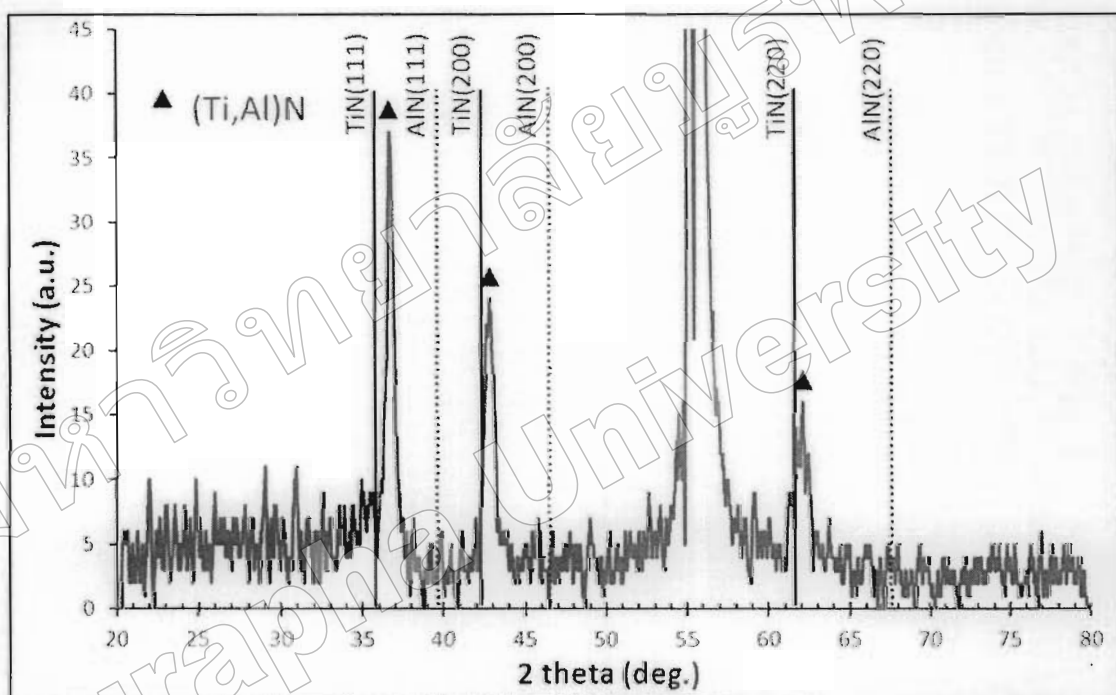
$n$  ลำดับการสะท้อน

$\lambda$  ความยาวคลื่น ( $\lambda = 1.5406 \text{ \AA}$ )

### สูตรคำนวณระยะห่างระหว่างรั้านาบในระบบผลึกแบบแนวคิวบิก

$$\text{cubic; } d_{hkl} = \frac{a}{\sqrt{h^2 + k^2 + l^2}} \quad (n-2)$$

ตัวอย่าง ก-1 การคำนวณหาระยะห่างระหว่างรั้านาบผลึก ( $d$ -spacing) ที่รั้านาบดังๆ



ภาพที่ ก-3 รูปแบบการเดี่ยวเบนรังสีเอกซ์ของฟิล์มบางไทเทเนียมอลูมิเนียมในไตรค์

ตารางที่ ก-1 รูปแบบการเดี่ยวเบนรังสีเอกซ์ของฟิล์มบางไทเทเนียมอลูมิเนียมในไตรค์

| No. | 2 Theta | Intensity | $h \ k \ l$ | $d$ -spacing |
|-----|---------|-----------|-------------|--------------|
| 1   | 36.72   | 37        | 1 1 1       | 2.44         |
| 2   | 43.07   | 24        | 2 0 0       | 2.11         |
| 3   | 62.26   | 16        | 2 2 0       | 1.49         |

1. หาระยะห่างระหว่างระนาบผลึกที่ระนาบต่าง ๆ

กำหนด  $\lambda = 1.5406 \text{ \AA}$ ; เมื่อหน่วยเป็น เรเดียน

แทนค่า  $\sin \theta$  ในหน่วยเรเดียนในสมการที่ ก-1 จะได้  $d$ -spacing ที่ระนาบต่าง ๆ ดังนี้

$$2d_{hkl} \sin \theta = n\lambda \quad (\text{ก-1})$$

ที่ระนาบ (200);

$$d_{hkl} = 2.11$$

2. หาค่าคงที่ (Latice Constant)

cubic;

$$d_{hkl} = \frac{a}{\sqrt{h^2 + k^2 + l^2}} \quad (\text{ก-2})$$

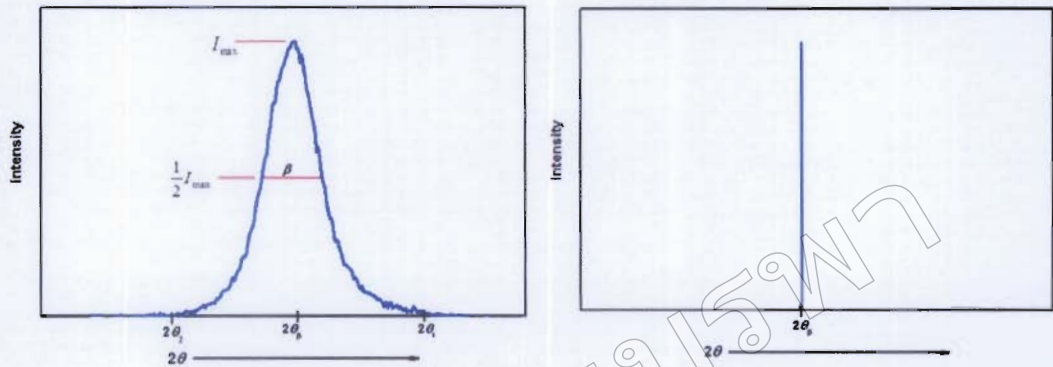
ที่ระนาบ (200);

$$2.11 = \frac{a}{\sqrt{2^2 + 0^2 + 0^2}}$$

$$a = 2.11(2)$$

$$a = 4.2186$$

### การคำนวณขนาดผลึก (Crystallite size)



ภาพที่ ก-4 Effect of crystallite size on diffraction curves (schematic)(Cullity, 1978)

$$\text{Scherrer Equation} \quad L = \frac{k\lambda}{\beta \cos \theta_\beta} \quad (\text{k-3})$$

เมื่อ  $L$  คือ ขนาดของผลึกฟิล์มบางไฟฟานียมเซอร์โคเนียมในไตรค์หน่วย นาโนเมตร (nm)

$k$  คือ ค่าคงที่เท่ากับ 0.9

$\lambda$  คือ ความยาวคลื่นของรังสีเอกซ์ ( $\text{CuK}_\alpha = 1.5406 \text{ \AA}$ )

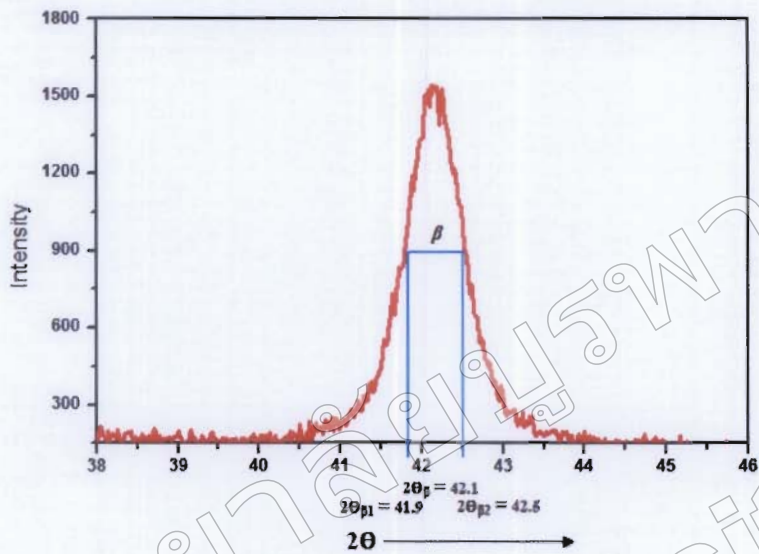
$\theta$  คือ ครึ่งหนึ่งของมุมตรงจุดศูนย์กลางพีก หน่วย เรเดียน

$\beta$  คือ ความกว้างครึ่งหนึ่งของพีกที่มีค่าความเข้มสูงสุด

(Full Width at Half Maximum; FWHM) ซึ่งคำนวณได้จากสมการ ก-4

$$\beta = \frac{2\theta_{\beta_2} - 2\theta_{\beta_1}}{2} \quad (\text{k-4})$$

ตัวอย่าง ก-2 การคำนวณขนาดผลึก



ภาพที่ ก-5 การหาความกว้างครึ่งหนึ่งของพีกที่มีค่าความเบี่ยงสูงสุด

วิธีคำนวณ หาค่า  $\beta$  จากสมการ ก-4

$$\beta = \frac{2\theta_{\beta_2} - 2\theta_{\beta_1}}{2}$$

$$\beta = \frac{44.05 - 42.1}{2} = 0.376 \text{ เรเดียน}$$

นำค่า  $\beta$  แทนในสมการ ก-3 จะได้

$$L = \frac{k\lambda}{\beta \cos \theta_\beta} ; \cos \theta_\beta = 0.930 \text{ เรเดียน}$$

$$L = \frac{(0.9)(0.15406 \text{ nm})}{(0.376)(0.930)} = 23.08 \text{ nm}$$

ดังนั้น ผลึกมีขนาดเท่ากับ 23.08 nm



ภาควิชาภาษาอังกฤษ  
ผลงานวิจัยที่ได้รับการตีพิมพ์เผยแพร่



ที่ กธ ๐๕๗๓.๒๐๑๓๓ (๑)/ ๖๔๘๔

มหาวิทยาลัยเกษตรศาสตร์  
วิทยาเขตกำแพงแสน  
๑ ถนนสุขุมวิท บ้านหนองแสง  
จ.นครปฐม ๗๗๑๓๐

๙๗ ตุลาคม ๒๕๕๕

เรื่อง ตอบรับการร่วมประชุมวิชาการ  
เรียน คุณอาวีรัตน์ สมหวังสกุล

ด้วยมหาวิทยาลัยเกษตรศาสตร์ วิทยาเขตกำแพงแสน ได้จัดสัมมนาวิชาการและประชุมวิชาการ ครั้งที่ ๙ ระหว่างวันที่ ๖-๗ ธันวาคม พ.ศ. ๒๕๕๕ ในงานเกษตรกำแพงแสน ประจำปี ๒๕๕๕ ภายใต้หัวข้อ “ตามรอยพระบูชาบานฯ เกษตรศาสตร์ในหลวง” เพื่อให้อาจารย์ นักวิจัย นิสิต นักศึกษา ในราชบัณฑิตยสถาน ตลอดจนภาคเอกชนได้มีโอกาสเผยแพร่ผลงานทางวิชาการอย่างสร้างสรรค์และทำให้เกิดการกระตุ้นการสร้างผลงานวิจัย การแลกเปลี่ยนความคิดเห็น และประสบการณ์เชิงวิชาการที่นำไปสู่การใช้ประโยชน์นั้น

ตามที่ท่านได้เสนอผลงานเข้าร่วมประชุมวิชาการครั้งที่ ๙ ระหว่างวันที่ ๖-๗ ธันวาคม ๒๕๕๕ ณ มหาวิทยาลัยเกษตรศาสตร์ วิทยาเขตกำแพงแสน จ.นครปฐม นับ บัดนี้ คณะกรรมการพิจารณาตัดสินใจตัดสินใจตัดสัมมนาวิชาการ ขอแจ้งให้ทราบว่า ผลงานของท่านได้ผ่านการพิจารณาและต้องรับการพิจารณาตัดสินใจตัดสัมมนาวิชาการ ดังกล่าว โดยท่านสามารถตรวจสอบคำตัดสินใจตัดสัมมนาวิชาการได้ที่ [เว็บไซต์ <http://researchconference.kps.ku.ac.th/>](http://researchconference.kps.ku.ac.th/) ภายในวันศุกร์ที่ ๒๗ พฤษภาคม ๒๕๕๕

จึงเรียนมาเพื่อโปรดทราบ

ขอแสดงความนับถือ

(รองศาสตราจารย์สมบัติ ชัยวงศ์)

รองอธิการบดีวิทยาเขตกำแพงแสน

ปฏิบัติราชการแทนอธิการบดีมหาวิทยาลัยเกษตรศาสตร์



การประชุมวิชาการแต่งงานวิชาชีววิทยาและเทคโนโลยีทางแสง ครั้งที่ 9

**การเตรียมและศึกษาลักษณะเฉพาะของฟิล์มบางไหเทเนียมอโลนีเนียมในไตรด์ที่เคลือบด้วย  
วิธีเสกหพ์ดีซีโคอันบาลานซ์เมกนีตرونสปัตเตอร์ริง**

**Preparation and Characterization of Titanium Aluminium Nitride Thin Film Deposited by  
Reactive DC Co-Unbalanced Magnetron Sputtering Method**

**อารีรัตน์ สมหวังสกุล<sup>1,2\*</sup> อดิศรุ บูรณวงศ์<sup>1,2</sup> นิรันดร์ วิทิตอนันต์<sup>1,2</sup> และ สุรัsingห์ ไชยคุณ<sup>1,2</sup>**  
***Areearl Somwangsaikul<sup>1,2\*</sup> Adisorn Buranawong<sup>1,2</sup> Nirun Witit-anun<sup>1,2</sup> and Surasingh Chaiyakun<sup>1,2</sup>***

**บทคัดย่อ**

ฟิล์มบางไหเทเนียมอโลนีเนียมในไตรด์ (TiAIN) ถูกเคลือบด้วยวิธีเสกหพ์ดีซีโคอันบาลานซ์เมกนีตرونสปัตเตอร์ริงบนกระดาษแข็งและซิลิโคน เพื่อศึกษาผลของการเปลี่ยนแปลงของพื้นผ้าในกระบวนการสปัตเตอร์ริงไหเทเนียม ( $I_s$ ) ต่อโครงสร้างผลึก ลักษณะพื้นผิวและความหนา ในช่วง 300 - 900 มิลลิแอมป์ โครงสร้างผลึก ลักษณะพื้นผิวและความหนา ศึกษาด้วยเทคนิคการเจี้ยวเบนรัสเซอกราฟฟิก (X-ray Diffraction; XRD) และอะตอมฟอยร์ชไมโครสโคป (Atomic Force Microscope; AFM) ทุนลักษณะ ผลการศึกษาพบว่าค่ากระแทกไฟฟ้าในกระบวนการสปัตเตอร์ริงไหเทเนียมมีผลโดยตรงต่อโครงสร้างผลึก ลักษณะพื้นผิวและความหนาของฟิล์ม โดยฟิล์มที่เคลือบได้แสดงโครงสร้างผลึกของไหเทเนียมอโลนีเนียมในไตรด์ ระนาบ (111) (200) และ (220) ความหนาและความหนาผิวของฟิล์มที่ได้มีค่าในช่วง 147 - 252 นาโนเมตร และ 1.4 - 3.1 นาโนเมตร ตามลำดับ

**Abstract**

Titanium aluminium nitride (TiAIN) thin film was deposited by reactive DC Co-unbalanced magnetron sputtering method on glass slide and silicon. The effect of titanium sputtering current ( $I_t$ ), in range of 300 - 900 mA, on the crystal structure, surface morphology and thickness were investigated. The crystal structure, surface morphologies and thickness were characterized by X-ray Diffraction (XRD) and Atomic Force Microscope (AFM) techniques, respectively. The results show that the crystal structure, surface morphologies and thickness of the film are strongly depended on the titanium sputtering current. The as-deposited films were composed of TiAIN with (111), (200) and (220) planes. The roughness and thickness of the as-deposited films were in the range of 147 to 252 nm and 1.4 to 3.1 nm, respectively.

**Key Words:** Thin films, titanium aluminium nitride, sputtering, reactive co-sputtering.

E-mail: [aarearl\\_buu@hotmail.com](mailto:aarearl_buu@hotmail.com)

<sup>1</sup> ภาควิชาฟิสิกส์ คณะวิทยาศาสตร์ มหาวิทยาลัยบูรพาฯ ชลบุรี

Department of Physics, Faculty of Science, Burapha University, Chon Buri 20131.

<sup>2</sup> ห้องปฏิบัติการวิจัยพลาสม่าสำนักวิทยาศาสตร์พื้นดิน ศูนย์ความเป็นเลิศพิสิกส์ (ThEP) สนว. สดช.

Plasma for Surface Sciences Laboratory, Thailand Center of Excellence in Physics (ThEP), PERDO, CHE

## การประชุมวิชาการแห่งชาติ มหาวิทยาลัยเกษตรศาสตร์ วิทยาเขตกำแพงแสน ครั้งที่ 9

### บทนำ

การปรับปรุงสมบัติเชิงพิเศษของวัสดุที่ได้มาตรฐานที่กำลังได้รับความสนใจอย่างกว้างขวาง จากกลุ่มนักวิจัยและภาคอุตสาหกรรมที่สนใจในการเคลือบตัวยสารที่มีสมบัติเหมาะสมในลักษณะพิเศษบางด้วย การเคลือบในสูญญากาศ (vacuum coating) โดยเฉพาะอย่างยิ่งเทคนิค PVD (Physical Vapor Deposition) ทั้งนี้นับเป็นเครื่องหรือฟิล์มบางขนาดหนึ่งที่ได้รับการยอมรับมาอย่างต่อเนื่องว่าเหมาะสมสำหรับใช้ในอุตสาหกรรม การเคลือบแข็ง (hard coating) คือ ฟิล์มบางไนโตรเจนในไครต์ (TiN) เนื่องจากมีสมบัติเดียวกันหลายประการ เช่น มีความแข็งสูง มีเดี้ยวยกภาระทางเคมีและทนความร้อนสูงได้ดี สามารถทัดกรดกร่อนและมีสมบัติเชิงกลที่ดี (Liu *et al.*, 2005; Su *et al.*, 1993; Reiner *et al.*, 1992) นิยมใช้เคลือบเครื่องมือปักร่อนตัดเจาะและ เครื่องซักอบกวนในภาคอุตสาหกรรม (Cunha *et al.*, 1999)

อย่างไรก็พิล็อกไนโตรเจนในไครต์มีข้อจำกัดบางประการดื้อไม่สามารถต้านทานการเกิดออกซิเดชันที่ อุณหภูมิสูงเกิน 500 °C เป็นผลให้สมบัติต้านความแข็งของฟิล์มลดลง (Singh *et al.*, 2005; Shum *et al.*, 2004) การแก้ไขปัญหานี้ที่ได้รับความสนใจคือการเพิ่มอัตราการอุดมอุ琚มีเนียม (Al) เข้าไปในโครงสร้างของไนโตรเจน ในไครต์ (TiN) เพื่อฟอร์มตัวเป็นชั้นของฟิล์มไนโตรเจนอุ琚มีเนียมในไครต์ (TiAIN) ซึ่งไม่เพียงเพิ่มสมบัติต้านทาน การกัดกร่อนเนื่องจากเกิดตัวเป็นชั้นของออกไซด์บนผิวน้ำฟิล์มเท่านั้นแต่ยังช่วยเพิ่มความแข็งให้แก่ฟิล์มที่ได้อีกด้วย เนื่องจากไนโตรเจนอุ琚มีเนียมในไครต์เป็นสารละลายของแข็ง (solid solution) ที่มีความแข็งมากกว่าไนโตรเจน ในไครต์ (Lugoscheider *et al.*, 1999)

สำหรับการเคลือบฟิล์มไนโตรเจนอุ琚มีเนียมในไครต์สามารถทำได้หลายวิธี เช่น ตีชี้รอนแอกทิฟสปัตเตอริ่ง (DC reactive sputtering) จาร์เรฟรีแอกทิฟสปัตเตอริ่ง (RF reactive sputtering) และ การอาร์คในสูญญากาศ (vacuum arc deposition) (Ramana *et al.*, 2004) อย่างไรก็ได้การเคลือบฟิล์มไนโตรเจนอุ琚มีเนียมในไครต์ให้มี โครงสร้างระดับนาโนนั้นส่วนใหญ่ต้องใช้กระบวนการหล่อขึ้นร่องสูง (Niu *et al.*, 2008; Uglov *et al.*, 2006) หรือ ต้องให้ความร้อนและความต่างกันไปแบบแก้วสัตtruong băng (Ramana *et al.*, 2004) การศึกษาเชิงอินไซต์ การเคลือบที่มีผลต่อโครงสร้างและสมบัติของฟิล์มไนโตรเจนอุ琚มีเนียมในไครต์ซึ่งมีค่าข้างน้อยและจำากัด โดยเฉพาะอย่างยิ่งในประเด็นการควบคุมตัวส่วนของค่าประกอบธาตุของฟิล์มได้สะควรและไม่ยุ่งยากคือการเคลือบวิธีโคสปัตเตอริ่ง (co-sputtering) การเคลือบวิธีนี้ใช้เป้าสารเคลือบ 2 ชุด ทำให้สามารถควบคุมอัตราการสปัตเตอร์สารเคลือบชุด ไนโตรเจน (Ti) หรือ อุ琚มีเนียม (Al) โดยการแบ่งค่ากระแสไฟฟ้าที่จ่ายให้แก่เป้าสารเคลือบท่านั้น บทความวิจัยนี้ เป็นรายงานผลการศึกษาพิล็อกบางไนโตรเจนอุ琚มีเนียมในไครต์ที่มีโครงสร้างระดับนาโนโดยไม่ให้ความร้อน แก้วสัตtruong băng ด้วยวิธีรีแอกทิฟสปัตเตอริ่งbadam แมกนีตอรอนสปัตเตอริ่ง เพื่อศึกษาผลของการแสไฟฟ้าในการ สนับเตอร์เป้าสารเคลือบไนโตรเจน (Ti<sub>x</sub>) ที่มีต่อโครงสร้างมลึก ความหนาและลักษณะพื้นผิวของฟิล์มไนโตรเจน อุ琚มีเนียมในไครต์เพื่อเป็นข้อมูลพื้นฐานในการวิจัยต่อไป

การประชุมวิชาการแห่งชาติ มหาวิทยาลัยราชภัฏมหาสารคามครบรอบ วิทยาเขตกำแพงเพชร ครั้งที่ ๑๙

อปกรณ์และวิธีการวิจัย

พิสูจน์ให้เห็นว่ามีอุบัติเหตุในเครื่องไมโครเวฟและแก๊สพืชที่ด้านบนบานสามเหลี่ยมกันต์ของสเปรตเตอร์ จำกัดเรื่องเคลือบในสูญญากาศระบบปฏิรูปอ่อนนุ่มนวลที่เกิดขึ้นตามลักษณะแมกนีตอิโรมันสเปรตเตอร์ (Figure 1) ห้องเคลือบของระบบออกชนาดเดินผ่านคุณภาพกลาง 31.0 เทคนิคเมตร สูง 31.0 เทคนิคเมตร มีผู้สำรวจเบื้องต้นเดินผ่านคุณภาพกลาง 5.0 เทคนิคเมตรจำนวน 2 ครั้ง ได้แก่ ให้เห็นว่ามีอุบัติเหตุในเครื่องไมโครเวฟและแก๊สพืชที่ด้านบนบานสามเหลี่ยมกันต์ของสเปรตเตอร์ (99.97%) และ อุบัติเหตุในเครื่องไมโครเวฟและแก๊สพืชที่ด้านบนบานสามเหลี่ยมกันต์ของสเปรตเตอร์ (99.97%) พักร้อนภาคค่ายไฟฟ้าแรงสูงกระแทกแรง ให้แก๊สตอร์กอน (99.999%) เป็นแก๊สสเปรตเตอร์ และแก๊สในเตาเจน (99.995%) เป็นแก๊สในปฏิกรณ์การซ่อมแก๊สในการเคลือบควบคุมด้วยเครื่องควบคุมอัตโนมัติแก๊สของ MKS รุ่น type247D เครื่องสูบสูญญากาศประกอบด้วยเครื่องสูบแบบแพร็อกมีเครื่องสูบกลไกดาริเป็นเครื่องสูบห้าม ใช้มาตรฐานความต้านทานของ PFEIFFER ซึ่งใช้ส่วนแสงและผลรุ่น TPG262 และ มาตรฐานความต้านทาน Compact Full Range Gauage รุ่น PKR251

ขั้นตอนการเคลื่อนย้ายจากน้ำสู่ครองรับ 2 ชนิดได้แก่ กระชากถัง式 ขนาด  $2.5 \times 7.5$  เซนติเมตร และชิลอก้อน ขนาด  $1.0 \times 1.0$  เซนติเมตร เข้าห้องเครื่องห้องที่บ้าน้ำทึบเท่ากับ 18 เซนติเมตร ลดความดันในห้องเครื่องให้ได้ความดันเพิ่มเท่ากับ  $5.0 \times 10^{-3}$  นิลลิบาร์ ปล่อยมือเข้าห้องเครื่องผ่านเครื่องควบคุมอัตราไหล瓦斯แก๊สในหน่วยลูกบาศก์เซนติเมตรต่อนาที (Standard Cubic Centimeters per Minute; sccm) โดยกำหนดให้อัตราไหล瓦斯แก๊สออกห้องเท่ากับ 16 sccm และแก๊สในໂຕเรعنเท่ากับ 8 sccm กำหนดระยะเวลาในการสเปดเตอร์ปั๊มน้ำมัน ( $\tau_{\text{pump}}$ ) คงที่เท่ากับ 300 มิลลิแยมป์ และแบรคต์กระด้วยไฟฟ้าในวงจรสเปดเตอร์ปั๊มน้ำมัน ( $\tau_{\text{bracket}}$ ) เท่ากับ 300, 600 และ 900 มิลลิแยมป์ โดยไฟฟ้าแต่ละระบบที่ต้องใช้ไฟฟ้าในวงจรสเปดเตอร์ปั๊มน้ำมัน ( $I_{\text{bracket}}$ ) ต้องเท่ากับ  $0.6$  นาวัตต์

พิสูจน์ได้สำนักงานวิเคราะห์โครงสร้างผลึก ด้วยเครื่อง X-ray Diffractometer รุ่น Bruker รุ่น D8 โดยใช้ Cu-K<sub>α</sub> ( $\lambda = 1.54056 \text{ 埃}$  หรือ Å) ตรวจวัดแบบ 2θ-scan ด้วยมุม角การเจาะปะจ่อง (grazing incident angle) เท่ากับ  $2^\circ$  สะเก็ด 20 จาก  $20^\circ$  ถึง  $80^\circ$  ขนาดผลึก (crystal size) ของพลาสติกน้ำข้าวนา嘉รุปแบบการเจ็บปะจ่องมั่งสีเลือกตามสมการของ Scherrer คือ  $L = k\lambda/\beta \cos \theta$  เมื่อ L คือขนาดผลึก, k คือค่าคงที่เท่ากับ 0.94, λ คือความยาวคลื่นรังสีเอ็กซ์ ( $\lambda = 1.54056 \text{ เอ}$  หรือ Å) , β คือความกว้างร่องหนึ่งของพื้นที่มีความกว้างเข้มสูงสุด (FWHM) และ θ คือมุมของรูปแบบของการเจ็บปะจ่องมั่งสีเลือก ส่วนของประบกอบกระดูกของพิสูจน์ศึกษาด้วยเครื่อง Energy Dispersive X-ray Spectroscopy รุ่น LEO 1450VP สำหรับลักษณะพื้นผิว ความหนาและความหยาบผิวศึกษาด้วยเครื่อง Atomic Force Microscope ของ Veeco Instruments Inc. รุ่น Nanoscope IV

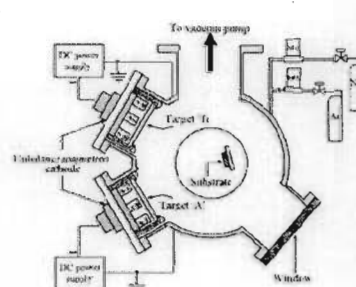


Figure 1 Features and diagram of the DC co-unbalanced magnetron sputtering system

### การประชุมวิชาการเพื่อชาติ มหาวิทยาลัยเกษตรศาสตร์ วิทยาเขตภาคตะวันออกครั้งที่ 9

#### ผลและวิจารณ์ผลกระทบทดลอง

พิล์มน้ำไทเกะเนียมมีสีน้ำเงินในโครงสร้างเคลือบบนกระดองไอล์ฟทั้งหมดทุกชิ้นที่พบว่ามีวินัยพิล์มนี้ลักษณะเรียบเนียนสารเคลือบกระดองด้วยสีฟ้าเข้ม สีฟ้าอ่อนและสีฟ้าขาว สำหรับพิล์มน้ำที่เคลือบได้มีสีน้ำตาลอ่อนน้ำตาลและน้ำตาลเข้มแบบตามธรรมชาติพิล์มน้ำที่เคลือบด้วยเหล็กในการเคลือบ (Figure 2) ตัวหนังสือด้วยเครื่องขัดจากความหนาพิล์มน้ำห้องด้วยเหล็กในการเคลือบ (Figure 3) พบว่าเมื่อใช้กระแสไฟฟ้าในการสปัตเตอร์ปั๊วไทเกะเนียมที่ต่อกัน 300 มิลลิแอมป์ อัตราเคลือบเท่ากับ 2.5 นาโนเมตรต่อวินาที และเพิ่มขึ้นเป็น 4.2 นาโนเมตรต่อวินาที เมื่อกระแสไฟฟ้าในการสปัตเตอร์ปั๊วไทเกะเนียมเพิ่มเป็น 900 มิลลิแอมป์ เมื่อจากกระแสไฟฟ้าในการสปัตเตอร์ปั๊วไทเกะเนียมเพิ่มขึ้น สามารถให้อัตราการสปัตเตอร์ปั๊วไทเกะเนียมของมวลตักกับอัตราเคลือบพิล์มน้ำที่ต่อกันเพิ่มขึ้น เนื่องจากพิล์มน้ำที่เคลือบด้วยเหล็กในการเคลือบบนวัสดุรองรับมีโอกาสสูงที่จะทำให้อัตราเคลือบพิล์มน้ำที่ต่อกันเพิ่มขึ้น

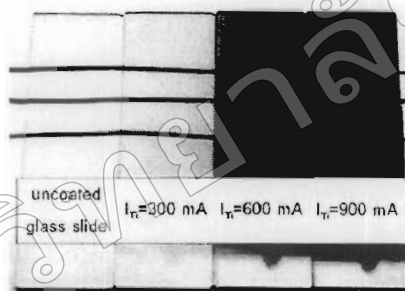


Figure 2 Surface characteristics and colors of TiAlN thin films deposited on glass slide under various sputtering current of Ti

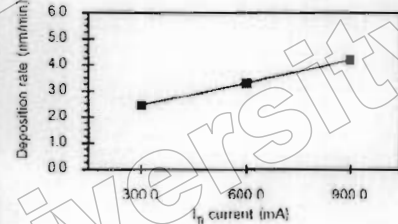


Figure 3 Deposition rates of TiAlN thin films deposited on Si under various sputtering current of Ti

ผลการศึกษาโครงสร้างพิล์มน้ำไทเกะเนียมในโครงสร้างเคลือบได้ทั้งหมดด้วยเทคนิค XRD ให้รูปแบบการเลี้ยวเบนรังสีเอกซ์ดังแสดงใน Figure 4 พบรูปแบบการเลี้ยวเบนรังสีเอกซ์ของพิล์มน้ำที่เคลือบได้ เมื่อใช้กระแสไฟฟ้าในการสปัตเตอร์ปั๊วไทเกะเนียม โดยเมื่อใช้กระแสไฟฟ้าต่ำเท่ากับ 300 มิลลิแอมป์ พบรูปแบบการเลี้ยวเบนรังสีเอกซ์ที่มุม  $43.08^\circ$  สอดคล้องกับไทเกะเนียมมีสีน้ำเงินในโครงสร้าง (200) เมื่อกระแสไฟฟ้าเพิ่มขึ้นเป็น 600 mA พบรูปแบบการเลี้ยวเบนรังสีเอกซ์ที่มุม  $42.88^\circ$  และ  $62.18^\circ$  ซึ่งสอดคล้องกับไทเกะเนียมมีสีน้ำเงินในโครงสร้าง (200) และ (220) ถูกตัดเย็บเมื่อกระแสไฟฟ้าเพิ่มเป็น 900 มิลลิแอมป์ พบรูปแบบการเลี้ยวเบนรังสีเอกซ์ที่มุม  $36.76^\circ$ ,  $42.84^\circ$  และ  $62.18^\circ$  ซึ่งสอดคล้องกับไทเกะเนียมมีสีน้ำเงินในโครงสร้าง (111) (200) และ (220) จากผลการทดลองพบว่าโครงสร้างลึกของพิล์มน้ำที่เคลือบโดยวิธีการพัฒนาในระหว่างการฟอกรื้มด้วยสัมภานร์กับพลังงานของอะตอมสารเคลือบที่เคลือบลงบนผิววัสดุรองรับที่เพิ่มขึ้นตามกระแสไฟฟ้าในการสปัตเตอร์ปั๊วไทเกะเนียมที่เพิ่มขึ้น ทำให้อะตอมสารเคลือบมีพลังงานมากพอในการฟอกรื้มด้วยสัมภานร์ของพิล์มน้ำที่ต่อกันเพิ่มขึ้น

การประชุมวิชาการเนื่องชาติ มหาวิทยาลัยเกษตรศาสตร์ วิทยาเขตกำแพงแสน ครั้งที่ 9

เมื่อพิจารณาคุณภาพนักการเลี้ยงแม่นรังสีเอกซ์ของไทยเนื่องในไตรตรีจะได้เป็นด้านแห่งอัจฉริยะจากฐานข้อมูล JCPDS เลขที่ 381420 ซึ่งมีค่าคงที่แล็ตทิชเท่ากับ 4.241 อัจฉริยะ ที่เป็นกับรูปแบบการเลี้ยงแม่นรังสีเอกซ์ของฟิล์มไนท์เกลี่ยมอยู่ในไตรตรีที่เคลือบไป (Figure 4) พบว่าฟิล์มที่เคลือบไปได้มีรูปแบบการเลี้ยงแม่นรังสีเอกซ์ เดือนไปทางขวาเมื่อเทียบกับรูปแบบการเลี้ยงแม่นรังสีเอกซ์มาตรฐานของไนท์เกลี่ยมในไตรตรี แสดงถึงลักษณะงานวิจัยของ Liu et al. (2005) ซึ่งอธิบายว่าค่าคงที่แล็ตทิชของฟิล์มไนท์เกลี่ยมอยู่ในไตรตรีที่เคลือบไปมีขนาดเล็กกว่าของค่าคงที่แล็ตทิชของฟิล์มไนท์เกลี่ยมในไตรตรีเนื่องจากอัตราของอนุภาคของอนุภูมิเมืองเข้าไปแทนที่ของลดลง ของไนท์เกลี่ยมในโครงสร้างของไนท์เกลี่ยมในไตรตรี ทำให้ค่าคงที่แล็ตทิชของฟิล์มที่เคลือบไปในงานวิจัยนี้ มีค่าน้อยกว่าค่ามาตรฐานของไนท์เกลี่ยมในไตรตรี เป็นผลให้ค่าแห่งของรูปแบบการเลี้ยงแม่นรังสีเอกซ์ของฟิล์มที่เคลือบไปมีการเลื่อนไปทางขวาบ้าง เช่น

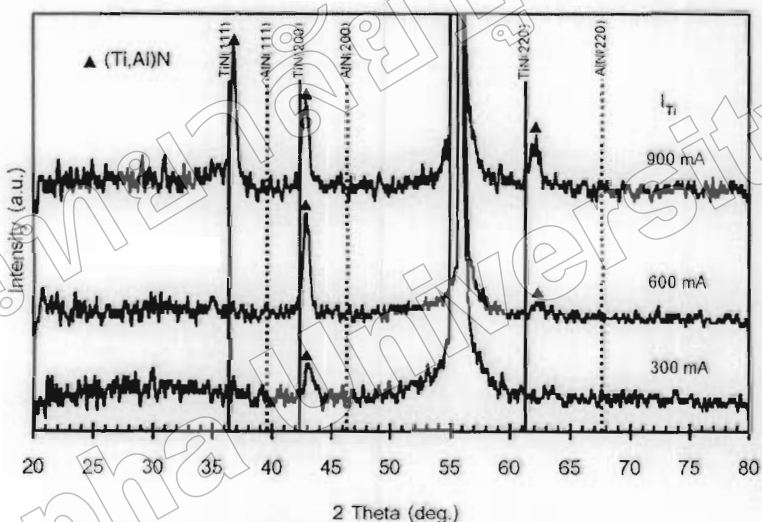


Figure 4 X-ray diffraction patterns of TiAlN thin films deposited on Si under various sputtering current of Ti

Table 1 Lattice constant, crystal size, thickness and roughness of as-deposited TiAlN thin film

| Ti current<br>(mA) | Lattice constant (Å) |            |            | Crystal size(nm) |            |            | Thickness<br>(nm) | $R_{max}$<br>(nm) |
|--------------------|----------------------|------------|------------|------------------|------------|------------|-------------------|-------------------|
|                    | TiAlN(111)           | TiAlN(200) | TiAlN(220) | TiAlN(111)       | TiAlN(200) | TiAlN(220) |                   |                   |
| 300                | -                    | 4.1759     | -          | -                | 26.6       | -          | 147               | 1.4               |
| 600                | -                    | 4.2186     | 4.2189     | -                | 29.9       | 25.3       | 198               | 1.9               |
| 900                | 4.2306               | 4.2093     | 4.2348     | 36.4             | 26.7       | 19.7       | 252               | 3.1               |

Lattice constant of TiN = 4.241 Å, from JCPDS file No. 361420

การประชุมวิชาการเชิงรุก นิหารักษาสิ่งแวดล้อมทางศาสตร์ วิทยาเขตกำแพงแสน ครั้งที่ 9

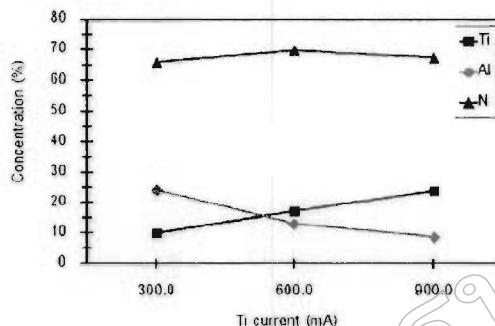


Figure 5 Element concentration (a%) of TiAlN thin films deposited on Si under various sputtering current of Ti

เมื่อนำพิสต์ที่เคลือบได้มาวิเคราะห์ของปูงขอบชุดด้วยเทคนิค EDX พบร่วมพิสต์ที่เคลือบได้ทั้งหมดมีไทเทเนียม (Ti) อัลูминيوم (Al) และ ไนโตรเจน (N) เป็นองค์ประกอบในสัดส่วนต่างๆ ซึ่งเป็นไปตามค่ากระแสไฟฟ้าในการสปัตเตอร์ปั๊วไทเทเนียมที่ใช้ในการกระบวนการเคลือบ ดังแสดงใน Figure 5 โดยพบว่า เมื่อกระแสไฟฟ้าเพิ่มขึ้นจาก 300 มิลลิแอมป์ เป็น 900 มิลลิแอมป์ องค์ประกอบอัลูминิเมิร์มีการเปลี่ยนแปลงอย่างต่อเนื่องเพิ่มขึ้นจาก 9.89% เป็น 23.82% ขณะที่อัลูминิเมิร์มลดลงจาก 24.20% เป็น 8.77% เมื่อจากไทเทเนียมถูกยึดติดออกจากสารเคลือบเพิ่มขึ้นตามค่ากระแสไฟฟ้าในการสปัตเตอร์ปั๊วไทเทเนียมแล้วเข้าไปแทนที่จะติดต่อกันอัลูминิเมิร์มในโครงสร้างผลึกของพิสต์ที่เคลือบได้ทำให้อัลูминิเมิร์มในพิสต์มีปริมาณลดลงส่วนในโครงสร้างค่าดัชนีร่องคงที่ไม่เปลี่ยนแปลงโดยบันค่าอยู่ในช่วง 65.91% ถึง 69.74% แสดงว่างานวิจัยนี้สามารถเคลือบพิสต์บางไห้เทเนียมอัลูминิเมิร์มได้ด้วยอุณหภูมิห้องได้สำเร็จ

Figure 6 แสดงลักษณะพื้นผิวของพิสต์บางไห้เทเนียมอัลูминิเมิร์มในไดร์ทที่เคลือบได้จากการศึกษาด้วยเทคนิค AFM ในแบบ 2 มิติ และ 3 มิติ พบร่วมพิสต์ที่เคลือบด้วยกระแสไฟฟ้าในการสปัตเตอร์ปั๊วไทเทเนียม เท่ากับ 300 มิลลิแอมป์ พิสต์ที่เกิดขึ้นเมื่อลักษณะเป็นผิวเดียวกันของพิสต์ ส่วนพิสต์ที่เคลือบด้วยกระแสไฟฟ้าในการสปัตเตอร์ปั๊วไทเทเนียมเท่ากับ 600 มิลลิแอมป์ สารเคลือบเริ่มเกาะกลุ่มกันมีขนาดใหญ่ขึ้น และพิสต์ที่เคลือบด้วยกระแสไฟฟ้าในการสปัตเตอร์ปั๊วไทเทเนียมเท่ากับ 900 มิลลิแอมป์ ลักษณะผิวน้ำขึ้นของพิสต์ที่เคลือบได้มีลักษณะแหลมมุกสูงต่ำกระจาบหัวห้น้าพิสต์ โดยพิสต์ที่เคลือบได้มีความหยาบผิว ( $R_{\text{av}}$ ) ในช่วง 1.4 – 3.1 นาโนเมตร เมื่อกราฟแสดงให้ทราบในการสปัตเตอร์ปั๊วไทเทเนียมเพิ่มขึ้นความหนาของพิสต์เพิ่มจาก 147 นาโนเมตร เป็น 252 นาโนเมตร ดังสรุปใน Table 1

จากการศึกษาด้วยเทคนิค AFM พบร่วมลักษณะพื้นผิว ความหยาบผิว ความหนา ตลอดจนขนาดของลักษณะพื้นผิวของพิสต์มีการเปลี่ยนแปลง เมื่อเพิ่มกระแสไฟฟ้าในการสปัตเตอร์ปั๊วไทเทเนียม ซึ่งเป็นการเพิ่มพัฒนาของอัลูมิเนียมสารเคลือบที่เคลือบบนผิวน้ำขึ้นของวัสดุรองรับ ทำให้สารเคลือบมีพลังงานมากพอในการเกาะกุ่มรวมตัวกันจนมีขนาดใหญ่ขึ้นจนทำให้ความหยาบเพิ่มขึ้นตามไปด้วย นอกจากนี้การเพิ่มกระแสไฟฟ้าในการสปัตเตอร์ปั๊วไทเทเนียมยังทำให้มีอัลูมิเนียมสารเคลือบหลุดจากมีการร้าบมากขึ้น นอกจากนี้การเพิ่มกระแสไฟฟ้าในโครงสร้างแล้วก่อร่องตัวเป็นร่องขึ้นของพิสต์บางบันวัสดุรองรับมากขึ้นจนพิสต์มีความหนาเพิ่มขึ้นตามลำดับ

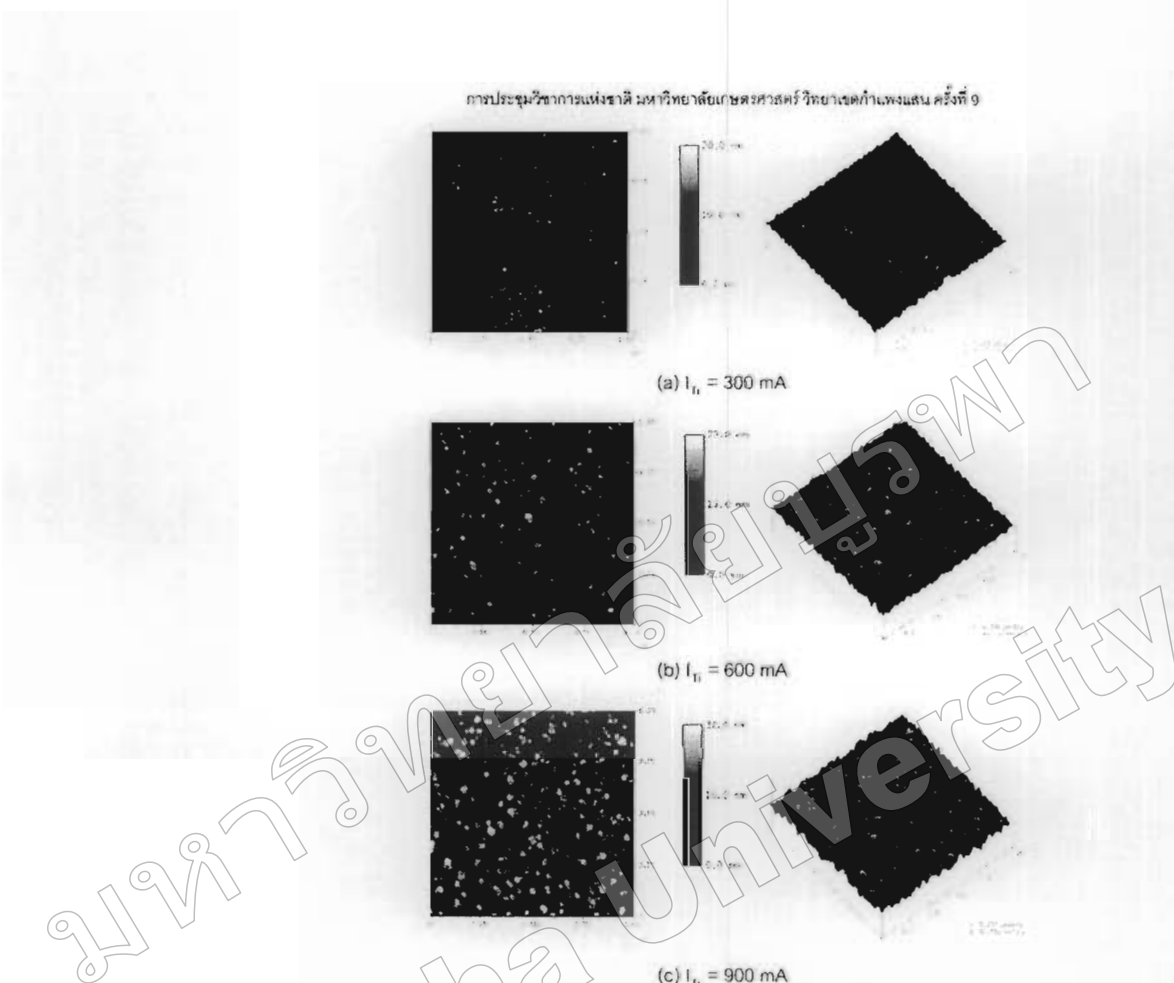


Figure 6. Surface morphology of TiAlN thin films deposited on Si under various sputtering current of Ti

### สรุป

พัฒนาไฟเทเนียมอุ่นไนย์มในไดร์ดในงานวิจัยนี้ เครื่องตัววิธีรังสรรค์ที่พัฒนาขึ้นมาสามารถแมกนีตอรอน สปัตเตอร์ริงนกร่างสีโลตัสและแผ่นซิลิกอน พัลส์ที่เคลือบบนกร่างสีโลตัสมีลักษณะเรียบเนียนล้าน้ำตาลอ่อน น้ำตาลคละช้าๆ ตามเร็ว慢 ผ่านแสงได้บางส่วน ผลกระทบศึกษาพบว่าจะเหมาะสมไฟฟ้าในการสปัตเตอร์ร์เป้าไฟเทเนียมเมื่อ ผลลัพธ์ของสัมภาระฟลักและลักษณะพื้นผิวของฟิล์มที่ได้ เมื่อกระแสไฟฟ้าในการสปัตเตอร์ร์เป้าไฟเทเนียมเพิ่มขึ้น พบว่าไฟฟิล์มไฟเทเนียมอุ่นไนย์มในไดร์ดที่ได้มีโครงสร้างผลึกขนาด (111) (200) และ (220) ค่าคงที่และพิเศษอยู่ ในช่วง 4.1759 – 4.2348 อัตราส่วน องค์ประกอบธาตุของฟิล์มที่เคลือบได้มีไฟเทเนียม (Ti) อุ่นไนย์ม (Al) และ ไนโตรเจน (N) เป็นองค์ประกอบในสัดส่วนต่างๆ ที่นับค่ากราฟและไฟฟ้าในการสปัตเตอร์ร์เป้าไฟเทเนียม ความหนา และความหนาแน่นของฟิล์มที่เคลือบได้มีค่าเพิ่มขึ้นจาก 147 นาโนเมตร เป็น 252 นาโนเมตร และ 1.4 นาโนเมตร เมื่อ 3.1 นาโนเมตร ความลึกดับ

การประชุมวิชาการแห่งราชวิทยาลัยบูรพา ที่ให้ทุนสนับสนุนทุนการวิจัย ประจำปี ๒๕๕๙

กิตติกรรมประจำภาค

คณะผู้วิจัยขอขอบคุณ คณะวิทยาศาสตร์ มหาวิทยาลัยบูรพา ที่ให้ทุนสนับสนุนทุนการวิจัย ประจำปี ๒๕๕๙ จำนวนรายได้ ประจำปีงบประมาณ ๒๕๕๕ เป็นอย่างสูง ซึ่งทำให้งานวิจัยนี้สำเร็จสุลังลงได้เป็นอย่างดี และขอขอบคุณ ภาควิชาฟิสิกส์ คณะวิทยาศาสตร์ มหาวิทยาลัยบูรพา ที่ให้ความอนุเคราะห์สถานที่ในการทำวิจัย

เอกสารอ้างอิง

- Cunha, L., Andritschky, M., Rebouta, L. and Pischow, K. 1999. Corrosion of CrN and TiAlN coatings in chloride-containing atmospheres. *Surface and Coatings Technology*. 116-119: 1152-1160.
- Liu, G.T., Duha, J.G., Chung, K.H. and Wang, J.H. 2005. Mechanical characteristics and corrosion behavior of (Ti,Al)N coatings on dental alloys. *Surface and Coatings Technology*. 200: 2100 – 2105
- Lugscheider, E., Knotek, O., Barimani, C., Leyendecker, T., Lemmer, O. and Wenke, R. 1999. PVD hard coated reamers in lubricant-free cutting. *Surface and Coatings Technology*. 112: 146-151.
- Niu, E.W., Li, L., G.H., Lv, H., Chen, W.R., Feng and S.Z. Yang. 2008. Characterization of Ti-Zr-N films deposited by cathodic vacuum arc with different substrate bias. *Applied Surface Science*. 254: 3909-3914.
- Ramana, J.V., Kumar, S., David, C. and Saju, V.S. 2004. Structure, composition and microhardness of (Ti,Al)N and (Ti,Al)N coatings prepared by DC magnetron sputtering. *Materials Letters*. 58: 2553-2558.
- Reiner, H., Hantche, H., Jehn, H.A., Kopacz, U. and Rack, A. 1992. Decorative properties and chemical composition of hard coatings. *Surface and Coatings Technology*. 54-55: 273-278.
- Shum, P.W., Tam, W.C., Li, K.Y., Zhou, Z.F. and Shen, Y.G. 2004. Mechanical and tribological properties of titanium-aluminium-nitride films deposited by reactive close-field unbalance magnetron sputtering. *Wear*. 257: 1030-1040.
- Singh, K., Limaye, P.K., Soni, N.L., Grover, A.K., Agrawal, R.G. and Suri, A.K. 2005. Wear studies of (Ti-Al)N coatings deposited by reactive magnetron sputtering. *Wear*. 258: 1813-1824.
- Su, Y.L., Lin, J.S., Shiau, L.I. and Wu, J.D. 1993. A tribological investigation of physical vapour deposition TiN coatings paired with surface treated steels for machine element applications. *Wear*. 167: 73-83.
- Uglov, V.V., Anishchik, V.M., Zlotski, S.V. and Abadias, G. 2006. The phase composition and stress development in ternary Ti-Zr-N coatings grown by vacuum arc with combining of plasma flow. *Surface and Coatings Technology*. 200: 6389-6394.